

Programmation dynamique

- L'algorithme du plus court chemin de Bellman peut être vue comme un système dynamique $x_{n+1} = Ax_n$ dans $(\mathbb{R} \cup \{+\infty\}, \min, +)$.
- Optimal control (Hamilton-Jacobi-Bellman)^a

a. M. Akian et al, *The Max-Plus Finite Element Method for Solving Deterministic Optimal Control Problems : Basic Properties and Convergence Analysis*, SIAM Journal on Control and Optimization, 2006

Putinar tropical

Soient $(g_i)_{i=1}^m$ une famille de fonctions continues et $X = \{x \in \mathbb{R}^n \mid g_i(x) \geq 0, i = 1, \dots, m\}$ compact.

$\forall x \in X, f(x) > 0$ si et seulement si

$$f \oplus \bigoplus_{j=1}^m (\sigma_j \otimes g_j) \geq \sigma_0, \text{ avec } \sigma_i \in \mathcal{C}^+, \quad (4)$$

où \mathcal{C}^+ est l'ensemble des fonctions constantes par morceaux.

Comparaison avec Putinar "classique"

$$f = \sigma_0 + \sum_{j=1}^m \sigma_j g_j \text{ avec } \sigma_i \in \Sigma[x].$$

Putinar tropical

Soient $(g_i)_{i=1}^m$ une famille de fonctions continues et $X = \{x \in \mathbb{R}^n \mid g_i(x) \geq 0, i = 1, \dots, m\}$ compact.

$\forall x \in X, f(x) > 0$ si et seulement si

$$f \oplus \bigoplus_{j=1}^m -(\sigma_j \otimes g_j) \geq \sigma_0, \text{ avec } \sigma_i \in \mathcal{C}^+, \quad (4)$$

où \mathcal{C}^+ est l'ensemble des fonctions constantes par morceaux.

Comparaison avec Putinar "classique"

$$f = \sigma_0 + \sum_{j=1}^m \sigma_j g_j \text{ avec } \sigma_i \in \Sigma[x].$$

$$f + \sum_{j=1}^m -\sigma_j g_j = \sigma_0 \text{ avec } \sigma_i \in \Sigma[x].$$

Remarques

- D'un point de vue effectif et algorithmique, les fonctions σ_j peuvent être obtenues grâce aux calculs par intervalles.
- Cela converge génériquement.
- Le temps de calcul dépend de f et de la qualité de fonction d'inclusion.

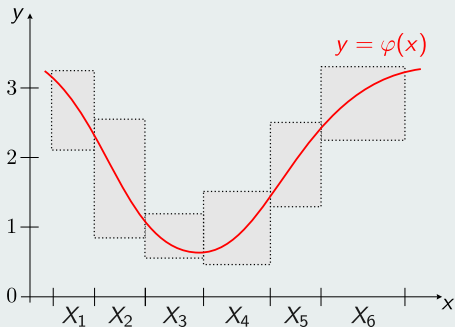
Illustration



Remarques

- D'un point de vue effectif et algorithmique, les fonctions σ_j peuvent être obtenues grâce aux calculs par intervalles.
- Cela converge génériquement.
- Le temps de calcul dépend de f et de la qualité de fonction d'inclusion.

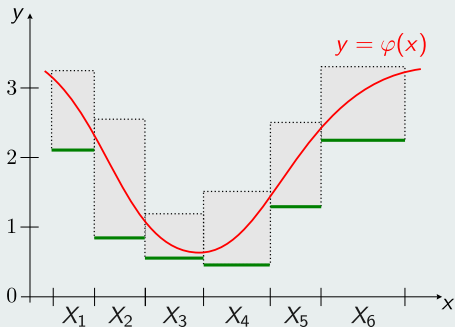
Illustration



Remarques

- D'un point de vue effectif et algorithmique, les fonctions σ_j peuvent être obtenues grâce aux calculs par intervalles.
- Cela converge génériquement.
- Le temps de calcul dépend de f et de la qualité de fonction d'inclusion.

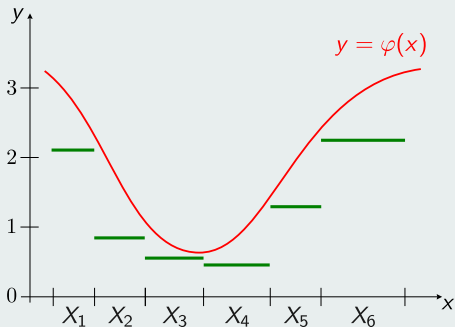
Illustration



Remarques

- D'un point de vue effectif et algorithmique, les fonctions σ_j peuvent être obtenues grâce aux calculs par intervalles.
- Cela converge génériquement.
- Le temps de calcul dépend de f et de la qualité de fonction d'inclusion.

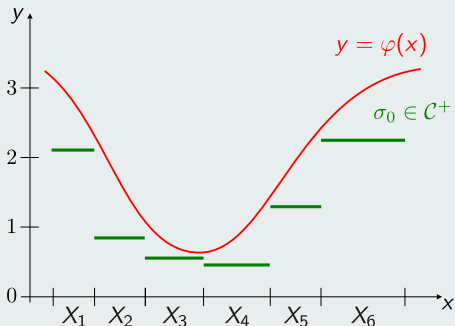
Illustration



Remarques

- D'un point de vue effectif et algorithmique, les fonctions σ_j peuvent être obtenues grâce aux calculs par intervalles.
- Cela converge génériquement.
- Le temps de calcul dépend de f et de la qualité de fonction d'inclusion.

Illustration



Remarques

- Les théorèmes Positivstellensatz précédemment présentés peut être “transportés” par cette dualité et faire apparaitre de contraintes sur les mesures (et leurs moments),
- Inversement, des problèmes d’optimisation convexes portant sur les mesures peuvent être “naturellement” relacher et discrétiser à partir de cette dualité, on parle de hiérarchie de Lasserre.

Problème généralisé des moments

$$\inf_{\mu \in \mathcal{M}^+(X)} \int_X \varphi(x) d\mu$$
$$\text{tel que } \int_X \psi(x) d\mu \leq \gamma_\psi, \forall \psi \in \Gamma.$$

Ce formalisme permet de modéliser les problèmes suivants :

- trouver le minimum global d'une fonction sur un sous-ensemble de \mathbb{R}^n ,
- évaluer la valeur du transport optimal de Kantorovitch,
- calculer la valeur optimale d'un problème de contrôle optimal,
- calculer la mesure de Lebesgue d'un sous-ensemble $S \subset \mathbb{R}^n$,
- calculer une borne supérieure à $\mu(S)$ parmi toutes les mesures μ vérifiant certaines conditions sur ses moments,
- évaluer le critère ergodique associé à une chaîne de Markov,
- ...

Problème généralisé des moments

$$\inf_{\mu \in \mathcal{M}^+(X)} \int_X \varphi(x) d\mu$$
$$\text{tel que } \int_X \psi(x) d\mu \leq \gamma_\psi, \forall \psi \in \Gamma.$$

Ce formalisme permet de modéliser les problèmes suivants :

- trouver le minimum global d'une fonction sur un sous-ensemble de \mathbb{R}^n ,
- évaluer la valeur du transport optimal de Kantorovitch,
- calculer la valeur optimale d'un problème de contrôle optimal,
- calculer la mesure de Lebesgue d'un sous-ensemble $S \subset \mathbb{R}^n$,
- calculer une borne supérieure à $\mu(S)$ parmi toutes les mesures μ vérifiant certaines conditions sur ses moments,
- évaluer le critère ergodique associé à une chaîne de Markov,
- ...

Problème généralisé des moments

$$\inf_{\mu \in \mathcal{M}^+(X)} \int_X \varphi(x) d\mu$$
$$\text{tel que } \int_X \psi(x) d\mu \leq \gamma_\psi, \forall \psi \in \Gamma.$$

Ce formalisme permet de modéliser les problèmes suivants :

- trouver le minimum global d'une fonction sur un sous-ensemble de \mathbb{R}^n ,
- évaluer la valeur du transport optimal de Kantorovitch,
- calculer la valeur optimale d'un problème de contrôle optimal,
- calculer la mesure de Lebesgue d'un sous-ensemble $S \subset \mathbb{R}^n$,
- calculer une borne supérieure à $\mu(S)$ parmi toutes les mesures μ vérifiant certaines conditions sur ses moments,
- évaluer le critère ergodique associé à une chaîne de Markov,
- ...

Définition - Transport

Un transport π est une mesure sur l'espace produit $X \times Y$ vérifiant

$$\begin{cases} \pi(A \times Y) = \mu(A), \\ \pi(X \times B) = \nu(B). \end{cases} \quad \text{pour tous } A \in \mathcal{A} \text{ et } B \in \mathcal{B}. \quad (7)$$

Existence d'une solution

Si $\mu(X) = \nu(Y)$, le problème de trouver une mesure π vérifiant

$$\begin{cases} \pi_X = \mu, \\ \pi_Y = \nu. \end{cases}$$

admet une solution. Il suffit de penser à $\pi = \mu \otimes \nu$.

	300	200	500
200	60	40	100
100	30	20	50
700	210	140	350

Comparer deux transports

Transport π

$$\pi = \begin{array}{c|ccc} & 3 & 3 & 1 \\ \hline 2 & 2 & 0 & 0 \\ 1 & 1 & 0 & 0 \\ 4 & 0 & 3 & 1 \end{array}$$

$$I(\pi) = 2 \times 0 + 1 \times 1 + 3 \times 1 + 1 \times 0 = 4$$

Transport $\tilde{\pi}$

$$\tilde{\pi} = \begin{array}{c|ccc} & 3 & 3 & 1 \\ \hline 2 & 1 & 1 & 0 \\ 1 & 0 & 0 & 1 \\ 4 & 2 & 2 & 0 \end{array}$$

$$I(\tilde{\pi}) = 8$$

Dans le cas discret

$$\begin{aligned} \min_{\pi \in \mathbb{R}^n \otimes \mathbb{R}^m} \quad & \sum_{i,j} c_{ij} \pi_{ij} \\ \text{tel que} \quad & \forall i, \sum_j \pi_{ij} = \mu_i, \\ & \forall j, \sum_i \pi_{ij} = \nu_j. \end{aligned} \tag{9}$$

où $c_{ij} \in \mathbb{R}^+$ est le cout du transport d'une masse unitaire de la position i à la position j .

Dans le cas discret

$$\begin{aligned} \min_{\pi \in \mathbb{R}^n \otimes \mathbb{R}^m} \quad & \sum_{i,j} c_{ij} \pi_{ij} \\ \text{tel que} \quad & \forall i, \sum_j \pi_{ij} = \mu_i, \\ & \forall j, \sum_i \pi_{ij} = \nu_j. \end{aligned} \tag{9}$$

où $c_{ij} \in \mathbb{R}^+$ est le cout du transport d'une masse unitaire de la position i à la position j .

Formulation de Kantorovich

La *valeur optimale du problème de transport* entre μ et ν est le réel

$$\begin{aligned} \mathcal{T}_c(\mu, \nu) = \inf_{\pi \in \mathcal{M}(X \times Y)} \quad & \int_{X \times Y} c(x, y) d\pi \\ \text{tel que} \quad & \pi_X = \mu, \\ & \pi_Y = \nu. \end{aligned} \tag{10}$$

Proposition - Relaxation

- μ, ν deux mesures avec X et Y comme support,
- $\{X_i\}_i, \{Y_j\}_j$ deux partitions de X et Y ,
- $\mu(X_i) \in [\underline{\mu}_i, \bar{\mu}_i], \nu(Y_j) \in [\underline{\nu}_j, \bar{\nu}_j]$,
- $\forall (x, y) \in X_i \times Y_j, \underline{c}_{ij} \leq c(x, y)$,

Si

$$\underline{T} = \min_{\pi_{ij} \in \mathbb{R}^n \otimes \mathbb{R}^m} \sum_{i,j} \underline{c}_{ij} \pi_{ij}$$

tel que $\forall i, \underline{\mu}_i \leq \sum_j \pi_{ij} \leq \bar{\mu}_i,$

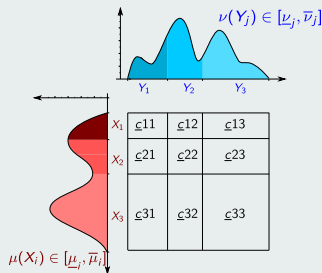
$$\forall j, \underline{\nu}_j \leq \sum_i \pi_{ij} \leq \bar{\nu}_j,$$

$$\forall i, \forall j, \pi_{ij} \geq 0.$$

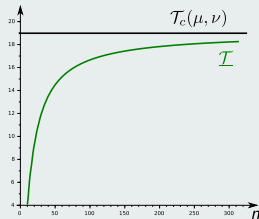
alors

$$\underline{T} \leq T_c(\mu, \nu).$$

Discrétisation spatiale



Résultats : bornes inférieures



Proposition - Relaxation

- μ, ν deux mesures avec X et Y comme support,
- $\{X_i\}_i, \{Y_j\}_j$ deux partitions de X et Y ,
- $\mu(X_i) \leq \bar{\mu}_i, \nu(Y_j) \leq \bar{\nu}_j$,
- $\forall x, y \in X_i \times Y_j, c(x, y) \leq \bar{c}_{ij}$.

Si

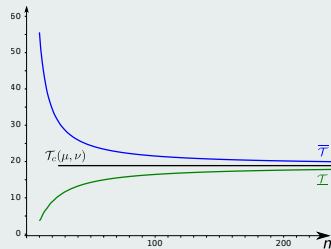
$$\bar{\mathcal{T}} = \sup_{(\phi_i) \in \mathbb{R}^n, (\psi_j) \in \mathbb{R}^n} \sum_i \phi_i \bar{\mu}_i + \sum_j \psi_j \bar{\nu}_i$$

$$\text{tel que} \quad \phi_i + \psi_j \leq \bar{c}_{ij}$$

alors

$$\mathcal{T}_c(\mu, \nu) \leq \bar{\mathcal{T}}.$$

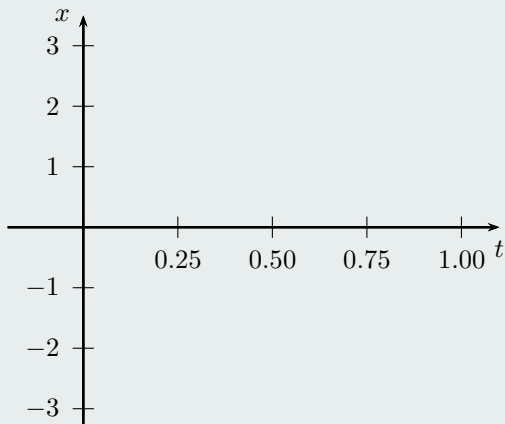
Résultats : bornes supérieures



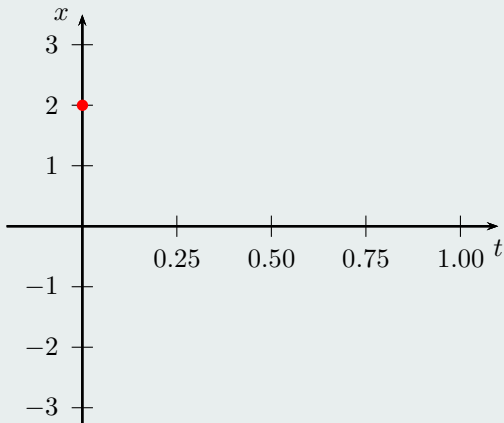
Publication - Preuves et convergence

Nicolas Delanoue, Mehdi Lhommeau, et Philippe Lucidarme. Numerical enclosures of the optimal cost of the Kantorovitch's mass transportation problem. *Computational Optimization and Applications*, 63(3) :855-873, 2016.

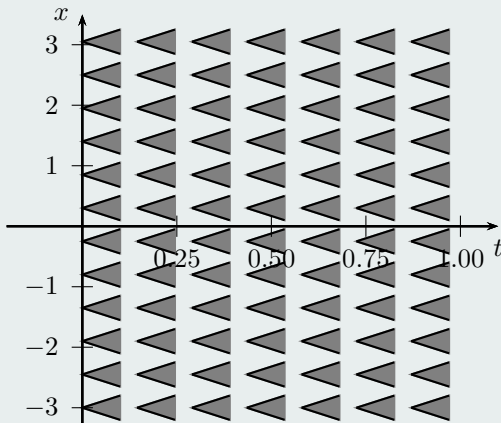
$$\begin{cases} x(0) = 2 \\ \dot{x}(t) = u(t), t \in [0, 1], \\ u(t) \in [-2, 2]. \end{cases}$$



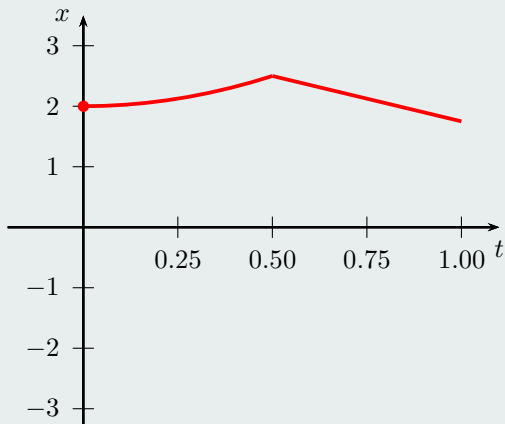
$$\begin{cases} x(0) = 2 \\ \dot{x}(t) = u(t), t \in [0, 1], \\ u(t) \in [-2, 2]. \end{cases}$$



$$\begin{cases} x(0) = 2 \\ \dot{x}(t) = u(t), t \in [0, 1], \\ u(t) \in [-2, 2]. \end{cases}$$



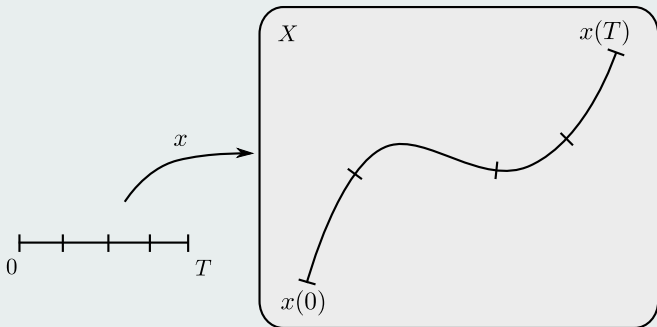
$$\begin{cases} x(0) = 2 \\ \dot{x}(t) = u(t), t \in [0, 1], \\ u(t) \in [-2, 2]. \end{cases}$$



Définition - Mesure d'occupation μ

Soit $x : [0, T] \mapsto X$ une courbe paramétrée, on définit par μ la mesure

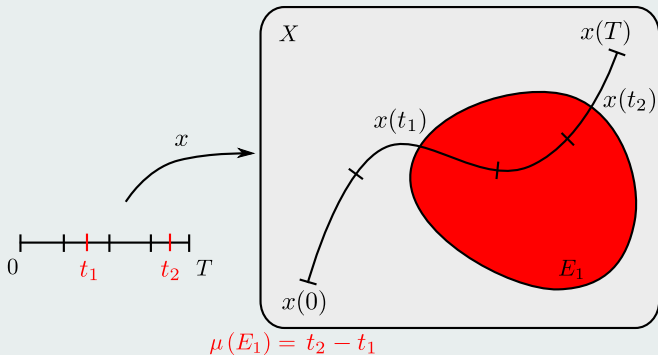
$$\mu(E) = \int_0^T 1_E(x(t)) dt$$



Définition - Mesure d'occupation μ

Soit $x : [0, T] \mapsto X$ une courbe paramétrée, on définit par μ la mesure

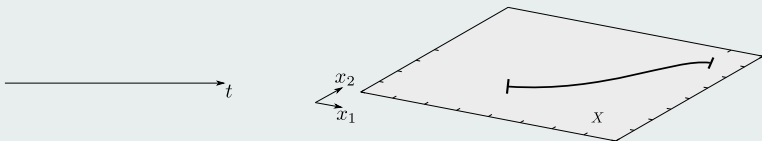
$$\mu(E) = \int_0^T 1_E(x(t)) dt$$



Proposition 1

Soit $x : [0, T] \mapsto X$ une courbe paramétrée et $h : X \mapsto \mathbb{R}$ une fonction réelle alors

$$\int_0^T h(x(t)) dt = \int_X h(x) d\mu.$$



Proposition

Considérons le système dynamique :

$$\begin{cases} \dot{x} &= f(x), \\ x(0) &= x_0. \end{cases} \quad (11)$$

Soit $T > 0$, le couple (μ, ν) de mesures d'occupation associé à la solution de (11) vérifient l'équation linéaire :

$$\mathcal{L}'(\mu, \nu) = \delta_{x_0}. \quad (12)$$

avec

$$\begin{aligned} \mathcal{L} : \mathcal{C}^\infty(X) &\rightarrow \mathcal{C}^\infty(X) \times \mathcal{C}^\infty(X) \\ \varphi &\mapsto (-\nabla_x \varphi(\cdot) \cdot f(\cdot), \varphi(\cdot)). \end{aligned}$$

Proof

$$\varphi(x(T)) - \varphi(x_0) = \int_0^T \frac{d}{dt} \varphi(x(t)) dt.$$

$$\varphi(x(T)) - \varphi(x_0) = \int_0^T \nabla_x \varphi(x(t)) \cdot \dot{x}(t) dt.$$

$$\varphi(x(T)) - \varphi(x_0) = \int_0^T \nabla_x \varphi(x(t)) \cdot f(x(t)) dt.$$

$$\int_X \varphi(x) d\nu - \int_X \varphi(x) d\delta_{x_0} = \int_X \nabla_x \varphi(x) \cdot f(x) d\mu$$

Proof

$$\varphi(x(T)) - \varphi(x_0) = \int_0^T \frac{d}{dt} \varphi(x(t)) dt.$$

$$\varphi(x(T)) - \varphi(x_0) = \int_0^T \nabla_x \varphi(x(t)) \cdot \dot{x}(t) dt.$$

$$\varphi(x(T)) - \varphi(x_0) = \int_0^T \nabla_x \varphi(x(t)) \cdot f(x(t)) dt.$$

$$\int_X \varphi(x) d\nu - \int_X \varphi(x) d\delta_{x_0} = \int_X \nabla_x \varphi(x) \cdot f(x) d\mu$$

$$\langle \nu, \varphi \rangle - \langle \delta_{x_0}, \varphi \rangle = \langle \mu, \nabla_x \varphi \cdot f \rangle$$

Proof

$$\varphi(x(T)) - \varphi(x_0) = \int_0^T \frac{d}{dt} \varphi(x(t)) dt.$$

$$\varphi(x(T)) - \varphi(x_0) = \int_0^T \nabla_x \varphi(x(t)) \cdot \dot{x}(t) dt.$$

$$\varphi(x(T)) - \varphi(x_0) = \int_0^T \nabla_x \varphi(x(t)) \cdot f(x(t)) dt.$$

$$\int_X \varphi(x) d\nu - \int_X \varphi(x) d\delta_{x_0} = \int_X \nabla_x \varphi(x) \cdot f(x) d\mu$$

$$\langle \nu, \varphi \rangle - \langle \delta_{x_0}, \varphi \rangle = \langle \mu, \nabla_x \varphi \cdot f \rangle$$

$$\langle (\mu, \nu), \mathcal{L}\varphi \rangle = \langle \delta_{x_0}, \varphi \rangle.$$

Proof

$$\langle (\mu, \nu), \mathcal{L}\varphi \rangle = \langle \delta_{x_0}, \varphi \rangle. \quad (13)$$

By duality, there exists a linear map \mathcal{L}' such that

$$\langle \mathcal{L}'(\mu, \nu), \varphi \rangle = \langle (\mu, \nu), \mathcal{L}\varphi \rangle.$$

Therefore, (13) becomes :

$$\langle \mathcal{L}'(\mu, \nu), \varphi \rangle = \langle \delta_{x_0}, \varphi \rangle.$$

Proof

$$\langle (\mu, \nu), \mathcal{L}\varphi \rangle = \langle \delta_{x_0}, \varphi \rangle. \quad (13)$$

By duality, there exists a linear map \mathcal{L}' such that

$$\langle \mathcal{L}'(\mu, \nu), \varphi \rangle = \langle (\mu, \nu), \mathcal{L}\varphi \rangle.$$

Therefore, (13) becomes :

$$\langle \mathcal{L}'(\mu, \nu), \varphi \rangle = \langle \delta_{x_0}, \varphi \rangle.$$

i.e.

$$\mathcal{L}'(\mu, \nu) = \delta_{x_0}.$$

Théorème

$$J_1^* = \min_{u: [0, T] \rightarrow U} \int_0^T h(t, x(t), u(t)) dt + H(x(T)) \quad (14)$$

tel que $x(0) = x_0, \dot{x} = f(x, u), \forall t \in [0, T],$
 $x(t) \in X, \forall t \in [0, T], x(T) \in K.$

et

$$J_2^* = \min_{\mu, \nu \in \mathcal{M}_+} \langle \mu, h \rangle + \langle \nu, H \rangle \quad (15)$$

tel que $\mathcal{L}'(\mu, \nu) = \delta_{(0, x_0)},$
 $\text{supp}(\mu) \subset [0, T] \times X \times U, \text{supp}(\nu) \subset K.$

Sous les hypothèses de Vinter,

$$J_1^* = J_2^*.$$

Théorème

$$J_1^* = \min_{u: [0, T] \rightarrow U} \int_0^T h(t, x(t), u(t)) dt + H(x(T)) \quad (14)$$

tel que $x(0) = x_0, \dot{x} = f(x, u), \forall t \in [0, T],$
 $x(t) \in X, \forall t \in [0, T], x(T) \in K.$

et

$$J_2^* = \min_{\mu, \nu \in \mathcal{M}_+} \langle \mu, h \rangle + \langle \nu, H \rangle \quad (15)$$

tel que $\mathcal{L}'(\mu, \nu) = \delta_{(0, x_0)},$
 $\text{supp}(\mu) \subset [0, T] \times X \times U, \text{supp}(\nu) \subset K.$

Sous les hypothèses de Vinter,

$$J_1^* = J_2^*.$$

